

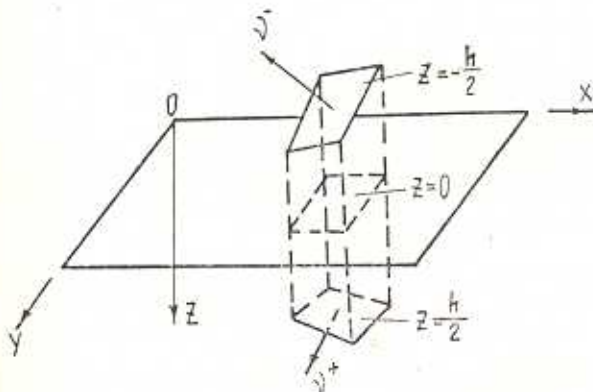
К ОПРЕДЕЛЕНИЮ НАПРЯЖЕНИЙ ПОПЕРЕЧНОГО НАПРАВЛЕНИЯ ОРТОТРОПНОЙ ИДЕАЛЬНО-ПЛАСТИЧЕСКОЙ ПЛАСТИНКИ ПЕРЕМЕННОЙ ТОЛЩИНЫ

КИРАКОСЯН Р. М.

На основе решений классической теории поперечного изгиба выводятся формулы для поперечных касательных и нормальных напряжений пластинок переменной толщины, изготовленных из идеально-пластического материала с прямолинейной или цилиндрической ортотропией. Эти формулы могут быть полезными при оценке оптимальных проектов пластинок из современных материалов, прочностные свойства которых в поперечном направлении значительно уступают свойствам продольных направлений.

1. Рассмотрим тонкую прямоугольную пластинку переменной толщины h , отнесенную к системе декартовых координат x, y, z (фиг. 1). Пластинка несет вертикальную нагрузку. Компоненты ее интенсивности, приведенные к единице площади средней плоскости, имеют вид

$$X^{\pm} = Y^{\pm} = 0, \quad Z^{\pm} = Z^{\pm}(x, y) \quad (1.1)$$



Фиг. 1

Здесь и в дальнейшем знаками $-$ и $+$ будем обозначать величины, относящиеся к поверхностям пластинки $z = -h/2$ и $z = +h/2$, соответственно.

Будем считать, что пластинка изготовлена из несжимаемого идеально-пластического ортотропного материала, главные направления которого параллельны координатным осям. Поведение материала опи-

сывается законом течения, ассоциированным с поверхностью текучести Мизеса-Хилла.

Выведем формулы, позволяющие вычислить значения неосновных напряжений σ_x , τ_{xz} и τ_{yz} с помощью решений классической теории поперечного изгиба пластинок.

В рамках этой теории поверхность текучести Мизеса-Хилла можно представить уравнением [1]

$$2\Phi = (H+G)\sigma_x^2 - 2H\sigma_x\sigma_y + (H+F)\sigma_y^2 + 2N\tau_{xy}^2 - 1 = 0 \quad (1.2)$$

где

$$\begin{aligned} H &= \frac{1}{2} \left(\frac{1}{\sigma_{xy}^2} + \frac{1}{\sigma_{yz}^2} - \frac{1}{\sigma_{xz}^2} \right), \quad F = \frac{1}{2} \left(\frac{1}{\sigma_{xy}^2} + \frac{1}{\sigma_{xz}^2} - \frac{1}{\sigma_{yz}^2} \right) \\ G &= \frac{1}{2} \left(\frac{1}{\sigma_{xz}^2} + \frac{1}{\sigma_{yz}^2} - \frac{1}{\sigma_{xy}^2} \right), \quad N = \frac{1}{2\sigma_{xy}^2} \end{aligned} \quad (1.3)$$

Через σ_{xx} , σ_{yy} и σ_{zz} обозначены пределы текучести материала по направлениям координатных осей x , y и z соответственно, а τ_{xy} — предел текучести при чистом сдвиге в плоскости xy .

Из ассоциированного закона течения для компонент скоростей деформации имеем

$$\begin{aligned} \varepsilon_x &= -z\dot{\gamma}_x = \lambda \frac{\partial \Phi}{\partial \sigma_x} = \lambda [(H+G)\dot{\gamma}_x - H\dot{\gamma}_y] \\ \varepsilon_y &= -z\dot{\gamma}_y = \lambda \frac{\partial \Phi}{\partial \sigma_y} = \lambda [(H+F)\dot{\gamma}_y - H\dot{\gamma}_x] \\ \dot{\gamma}_{xy} &= -2z\dot{\gamma}_{xy} = \lambda \frac{\partial \Phi}{\partial \tau_{xy}} = 2\lambda N\dot{\gamma}_{xy} \end{aligned} \quad (1.4)$$

Здесь λ — неотрицательный параметр, $\dot{\gamma}_x$, $\dot{\gamma}_y$ и $\dot{\gamma}_{xy}$ — скорости изменения кривизн срединной плоскости пластинки, которые выражаются через скорость прогиба w формулами [2]

$$\dot{\gamma}_x = \frac{\partial^2 w}{\partial x^2}, \quad \dot{\gamma}_y = \frac{\partial^2 w}{\partial y^2}, \quad \dot{\gamma}_{xy} = \frac{\partial^2 w}{\partial x \partial y} \quad (1.5)$$

Из (1.4) для основных напряжений пластинки σ_x , σ_y и τ_{xy} находим

$$\sigma_x = -\frac{z}{i\Delta} [(H+F)\dot{\gamma}_x + H\dot{\gamma}_y], \quad \sigma_y = -\frac{z}{i\Delta} [(H+G)\dot{\gamma}_y + H\dot{\gamma}_x]$$

$$\tau_{xy} = -\frac{z}{iN} \dot{\gamma}_{xy} \quad (1.6)$$

где

$$\Delta = FG + GH + HF \quad (1.7)$$

Подставляя (1.6) в условие пластичности (1.3), для параметра получим

$$z = |z| D \quad (1.8)$$

где

$$D = \sqrt{\frac{1}{\Delta} \left[(H+F) z_x^2 + 2H z_x z_y + (H+G) z_y^2 + \frac{2\Delta}{N} z_{xy}^2 \right]} \quad (1.9)$$

С учетом (1.8) выражения напряжений (1.6) можно представить в виде

$$\tau_x = -\operatorname{sign} z \frac{(H+F) z_x + H z_y}{D \Delta}, \quad \tau_y = -\operatorname{sign} z \frac{(H+G) z_y + H z_x}{D \Delta}$$

$$\tau_{xy} = -\operatorname{sign} z \frac{z_{xy}}{DN} \quad (1.10)$$

Направляющие косинусы внешних нормалей поверхностей пластины v^- и v^+ определяются формулами [3]

$$l^- = \cos(v^-; \hat{x}) = l^+ = \cos(v^+; \hat{x}) = -\sqrt{\frac{\frac{\partial h}{\partial x}}{4 + \left(\frac{\partial h}{\partial x}\right)^2 + \left(\frac{\partial h}{\partial y}\right)^2}}$$

$$m^- = \cos(v^-; \hat{y}) = m^+ = \cos(v^+; \hat{y}) = -\sqrt{\frac{\frac{\partial h}{\partial y}}{4 + \left(\frac{\partial h}{\partial x}\right)^2 + \left(\frac{\partial h}{\partial y}\right)^2}}$$

$$n^- = \cos(v^-; \hat{z}) = -n^+ = -\cos(v^+; \hat{z}) = -\sqrt{\frac{2}{4 + \left(\frac{\partial h}{\partial x}\right)^2 + \left(\frac{\partial h}{\partial y}\right)^2}} \quad (1.11)$$

$$n^- = \cos(v^-; \hat{z}) = -n^+ = -\cos(v^+; \hat{z}) = -\sqrt{\frac{2}{4 + \left(\frac{\partial h}{\partial x}\right)^2 + \left(\frac{\partial h}{\partial y}\right)^2}}$$

Используя (1.1), (1.11) и учитывая неосновные напряжения, поверхностные условия пластины можно представить в виде

при $z = -h/2$

$$\tau_x^- l^- + \tau_{xy}^- m^- + \tau_{xz}^- n^- = X^- |n^-| = 0, \quad \tau_{xy}^- l^- + \tau_y^- m^- + \tau_{yz}^- n^- = Y^- |n^-| = 0 \quad (1.12)$$

$$\tau_{xz}^- l^- + \tau_{xz}^- m^- + \tau_z^- n^- = Z^- |n^-| = \sqrt{\frac{2Z^-}{4 + \left(\frac{\partial h}{\partial x}\right)^2 + \left(\frac{\partial h}{\partial y}\right)^2}}$$

при $z = +h/2$

$$\tau_x^+ l^+ + \tau_{xy}^+ m^+ + \tau_{xz}^+ n^+ = X^+ |n^+| = 0, \quad \tau_{xy}^+ l^+ + \tau_y^+ m^+ + \tau_{yz}^+ n^+ = Y^+ |n^+| = 0 \quad (1.13)$$

$$\tau_{xz}^+ l^+ + \tau_{xz}^+ m^+ + \tau_z^+ n^+ = Z^+ |n^+| = \sqrt{\frac{2Z^+}{4 + \left(\frac{\partial h}{\partial x}\right)^2 + \left(\frac{\partial h}{\partial y}\right)^2}}$$

Из первых двух условий (1.12) и (1.13) с учетом (1.10) и (1.11) для поверхностных значений касательных напряжений τ_{xz} и τ_{yz} получим

$$\begin{aligned}\tau_{xz}^+ &= \tau_{xz}^- = -\frac{1}{2D\Delta} \left[[(H+F)\tau_x + Hz_y] \frac{\partial h}{\partial x} + \frac{\Delta}{N} \tau_{xy} \frac{\partial h}{\partial y} \right] \\ \tau_{yz}^+ &= \tau_{yz}^- = -\frac{1}{2D\Delta} \left[[(H+G)\tau_y + Hz_x] \frac{\partial h}{\partial y} + \frac{\Delta}{N} \tau_{xy} \frac{\partial h}{\partial x} \right]\end{aligned}\quad (1.14)$$

Дифференциальные уравнения равновесия сплошной среды при отсутствии объемных сил имеют вид [2]

$$\frac{\partial \tau_x}{\partial x} + \frac{\partial \tau_{xy}}{\partial y} + \frac{\partial \tau_{xz}}{\partial z} = 0, \quad \frac{\partial \tau_{xy}}{\partial x} + \frac{\partial \tau_{yy}}{\partial y} + \frac{\partial \tau_{yz}}{\partial z} = 0, \quad \frac{\partial \tau_{xz}}{\partial x} + \frac{\partial \tau_{yz}}{\partial y} + \frac{\partial \tau_z}{\partial z} = 0 \quad (1.15)$$

Исключив из рассмотрения точки срединной плоскости $z=0$ для областей пластиинки $|z|>0$, с учетом (1.10) можно написать

$$\begin{aligned}\frac{\partial \tau_x}{\partial x} &= -\operatorname{sign} z \cdot \frac{1}{\Delta} \frac{\partial}{\partial x} \left[\frac{(H+F)\tau_x + Hz_y}{D} \right], \quad \frac{\partial \tau_{xy}}{\partial y} = -\operatorname{sign} z \frac{1}{N} \frac{\partial}{\partial y} \left(\frac{\tau_{xy}}{D} \right) \\ \frac{\partial \tau_{xy}}{\partial x} &= -\operatorname{sign} z \frac{1}{N} \frac{\partial}{\partial x} \left(\frac{\tau_{xy}}{D} \right), \quad \frac{\partial \tau_y}{\partial y} = -\operatorname{sign} z \frac{1}{\Delta} \frac{\partial}{\partial y} \left[\frac{(H+G)\tau_y + Hz_x}{D} \right]\end{aligned}\quad (1.16)$$

Имея в виду эти выражения, из первых двух уравнений равновесия (1.15) при $|z|>0$ находим

$$\begin{aligned}\frac{\partial \tau_{xz}}{\partial z} &= \operatorname{sign} z \left\{ \frac{1}{\Delta} \frac{\partial}{\partial x} \left[\frac{(H+F)\tau_x + Hz_y}{D} \right] + \frac{1}{N} \frac{\partial}{\partial y} \left(\frac{\tau_{xy}}{D} \right) \right\} \\ \frac{\partial \tau_{yz}}{\partial z} &= \operatorname{sign} z \left\{ \frac{1}{\Delta} \frac{\partial}{\partial y} \left[\frac{(H+G)\tau_y + Hz_x}{D} \right] + \frac{1}{N} \frac{\partial}{\partial x} \left(\frac{\tau_{xy}}{D} \right) \right\}\end{aligned}\quad (1.17)$$

Интегрировав (1.17) в областях $z<0$ и $z>0$, получим:

при $z<0$

$$\tau_{xz} = C_1^-(x, y) - z \left\{ \frac{1}{\Delta} \frac{\partial}{\partial x} \left[\frac{(H+F)\tau_x + Hz_y}{D} \right] + \frac{1}{N} \frac{\partial}{\partial y} \left(\frac{\tau_{xy}}{D} \right) \right\} \quad (1.18)$$

$$\tau_{yz} = C_2^-(x, y) - z \left\{ \frac{1}{\Delta} \frac{\partial}{\partial y} \left[\frac{(H+G)\tau_y + Hz_x}{D} \right] + \frac{1}{N} \frac{\partial}{\partial x} \left(\frac{\tau_{xy}}{D} \right) \right\},$$

при $z>0$

$$\begin{aligned}\tau_{xz} &= C_1^+(x, y) + z \left\{ \frac{1}{\Delta} \frac{\partial}{\partial x} \left[\frac{(H+F)\tau_x + Hz_y}{D} \right] + \frac{1}{N} \frac{\partial}{\partial y} \left(\frac{\tau_{xy}}{D} \right) \right\} \\ \tau_{yz} &= C_2^+(x, y) + z \left\{ \frac{1}{\Delta} \frac{\partial}{\partial y} \left[\frac{(H+G)\tau_y + Hz_x}{D} \right] + \frac{1}{N} \frac{\partial}{\partial x} \left(\frac{\tau_{xy}}{D} \right) \right\}\end{aligned}\quad (1.19)$$

где C_1^-, C_1^+ и C_2^-, C_2 — функции интегрирования, определяющиеся из условий на поверхности $z = \pm h/2$.

Используя (1.18) и (1.19), из (1.14) находим

$$\begin{aligned} C_1^- = C_1^+ &= -\frac{h}{2\Delta} \left\{ \frac{\partial}{\partial x} \left[\frac{(H+F)x_x + Hx_y}{D} \right] + \frac{\Delta}{N} \frac{\partial}{\partial y} \left(\frac{x_{xy}}{D} \right) \right\} - \\ &\quad - \frac{1}{2D\Delta} \left\{ [(H+F)x_x + Hx_y] \frac{\partial h}{\partial x} + \frac{\Delta}{N} x_{xy} \frac{\partial h}{\partial y} \right\} \quad (1.20) \\ C_2^- = C_2^+ &= -\frac{h}{2\Delta} \left\{ \frac{\partial}{\partial y} \left[\frac{(H+G)x_y + Hx_x}{D} \right] + \frac{\Delta}{N} \frac{\partial}{\partial x} \left(\frac{x_{xy}}{D} \right) \right\} - \\ &\quad - \frac{1}{2D\Delta} \left\{ [(H+G)x_y + Hx_x] \frac{\partial h}{\partial y} + \frac{\Delta}{N} x_{xy} \frac{\partial h}{\partial x} \right\} \end{aligned}$$

Подставляя (1.20) в (1.18) и (1.19), для поперечных касательных напряжений в областях $|z|>0$ получим

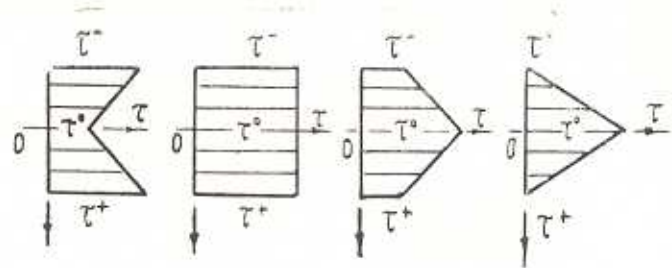
$$\begin{aligned} \tau_{xz} &= -\frac{h-|z|}{2\Delta} \left\{ \frac{\partial}{\partial x} \left[\frac{(H+F)x_x + Hx_y}{D} \right] + \frac{\Delta}{N} \frac{\partial}{\partial y} \left(\frac{x_{xy}}{D} \right) \right\} - \\ &\quad - \frac{1}{2D\Delta} \left\{ [(H+F)x_x + Hx_y] \frac{\partial h}{\partial x} + \frac{\Delta}{N} x_{xy} \frac{\partial h}{\partial y} \right\} \quad (1.21) \\ \tau_{yz} &= -\frac{h-|z|}{2\Delta} \left\{ \frac{\partial}{\partial y} \left[\frac{(H+G)x_y + Hx_x}{D} \right] + \frac{\Delta}{N} \frac{\partial}{\partial x} \left(\frac{x_{xy}}{D} \right) \right\} - \\ &\quad - \frac{1}{2D\Delta} \left\{ [(H+G)x_y + Hx_x] \frac{\partial h}{\partial y} + \frac{\Delta}{N} x_{xy} \frac{\partial h}{\partial x} \right\} \end{aligned}$$

Отметим, что предельные значения τ_{xz} и τ_{yz} при $z \rightarrow \mp 0$ совпадают, и на срединной плоскости имеем

$$\begin{aligned} \tau_{xz}^0 = \tau_{xz}|_{z=0} &= -\frac{h}{2\Delta} \left\{ \frac{\partial}{\partial x} \left[\frac{(H+F)x_x + Hx_y}{D} \right] + \frac{\Delta}{N} \frac{\partial}{\partial y} \left(\frac{x_{xy}}{D} \right) \right\} - \\ &\quad - \frac{1}{2D\Delta} \left\{ [(H+F)x_x + Hx_y] \frac{\partial h}{\partial x} + \frac{\Delta}{N} x_{xy} \frac{\partial h}{\partial y} \right\} \quad (1.22) \\ \tau_{yz}^0 = \tau_{yz}|_{z=0} &= -\frac{h}{2\Delta} \left\{ \frac{\partial}{\partial y} \left[\frac{(H+G)x_y + Hx_x}{D} \right] + \frac{\Delta}{N} \frac{\partial}{\partial x} \left(\frac{x_{xy}}{D} \right) \right\} - \\ &\quad - \frac{1}{2D\Delta} \left\{ [(H+G)x_y + Hx_x] \frac{\partial h}{\partial y} + \frac{\Delta}{N} x_{xy} \frac{\partial h}{\partial x} \right\} \end{aligned}$$

Значения же этих напряжений на поверхностях $z = \pm h/2$ определяются формулами (1.14).

Таким образом, τ_{xz} и τ_{yz} являются непрерывными, четными, кусочно-линейными функциями по z . Возможные качественные формы их графиков представлены на фиг. 2.



Фиг. 2

Из третьего уравнения равновесия (1.15) с учетом (1.21) можем написать

$$\frac{\partial \sigma_z}{\partial z} = -|z|A_1(x, y) + A_2(x, y) \quad (1.23)$$

где

$$A_1(x, y) = \frac{1}{\Delta} \left[\frac{\partial^2}{\partial x^2} \left(\frac{(H+F)x_y + Hx_y}{D} \right) + \frac{2\Delta}{N} \frac{\partial^2}{\partial x \partial y} \left(\frac{x_{xy}}{D} \right) + \right.$$

$$\left. + \frac{\partial^2}{\partial y^2} \left(\frac{(H+G)x_y + Hx_x}{D} \right) \right] \quad (1.24)$$

$$A_2(x, y) = \frac{h}{2} A_1(x, y) + \frac{1}{\Delta} \left[\frac{\partial}{\partial x} \left(\frac{(H+F)x_y + Hx_y}{D} \right) + \right]$$

$$+ \frac{\Delta}{N} \frac{\partial}{\partial y} \left(\frac{x_{xy}}{D} \right) \frac{\partial h}{\partial x} + \frac{1}{\Delta} \left[\frac{\partial}{\partial y} \left(\frac{(H+G)x_y + Hx_x}{D} \right) + \frac{\Delta}{N} \frac{\partial}{\partial x} \left(\frac{x_{xy}}{D} \right) \frac{\partial h}{\partial y} + \right]$$

$$+ \frac{1}{2D\Delta} \left[[(H+F)x_y + Hx_y] \frac{\partial^2 h}{\partial x^2} + \frac{2\Delta}{N} x_{xy} \frac{\partial^2 h}{\partial x \partial y} + [(H+G)x_y + Hx_x] \frac{\partial^2 h}{\partial y^2} \right] \quad (1.25)$$

Интегрировав (1.23) по z , находим:

$$\text{при } z < 0 \quad \sigma_z = C_3^-(x, y) - \frac{z^2}{2} A_1 + z A_2 \quad (1.26)$$

$$\text{при } z > 0 \quad \sigma_z = C_3^+(x, y) - \frac{z^2}{2} A_1 + z A_2 \quad (1.27)$$

где C_3^- и C_3^+ — функции интегрирования.

Имея в виду, что при $z \rightarrow \mp 0$ напряжение σ_z должно быть непрерывным, из (1.25) и (1.26) заключаем

$$C_3^- = C_3^+ \quad (1.28)$$

С целью их определения обратимся к третьим поверхностным условиям (1.12) и (1.13). С учетом (1.11) эти условия представим виде

$$\sigma_z = -Z - \frac{1}{2} z_{xz} \frac{\partial h}{\partial x} - \frac{1}{2} z_{yz} \frac{\partial h}{\partial y} \quad (1.29)$$

$$\tau_x^+ = Z^+ + \frac{1}{2} \tau_{xz}^+ \frac{\partial h}{\partial x} + \frac{1}{2} \tau_{yz}^+ \frac{\partial h}{\partial y}$$

Используя (1.27), (1.28), из (1.25) и (1.26) получим

$$\begin{aligned} \frac{h^2}{8} A_1 - \frac{h}{2} A_2 + C_3^+ &= -Z^- - \frac{1}{2} \tau_{xz}^- \frac{\partial h}{\partial x} - \frac{1}{2} \tau_{yz}^- \frac{\partial h}{\partial y} \\ - \frac{h^2}{8} A_1 + \frac{h}{2} A_2 + C_3^+ &= Z^+ + \frac{1}{2} \tau_{xz}^+ \frac{\partial h}{\partial x} + \frac{1}{2} \tau_{yz}^+ \frac{\partial h}{\partial y} \end{aligned} \quad (1.29)$$

Сложив равенства (1.29), находим

$$C_3^+ = \frac{Z^+ - Z^-}{2} \quad (1.30)$$

Объединив (1.25) и (1.26), с учетом (1.24), (1.30) для нормального напряжения σ_z окончательно получим

$$\begin{aligned} \sigma_z &= \frac{Z^+ - Z^-}{2} - \frac{z(|z| - h)}{2\Delta} \left\{ \frac{\partial^2}{\partial x^2} \left[\frac{(H+F)\tau_{xy} - H\tau_{yy}}{D} \right] + \frac{2\Delta}{N} \frac{\partial^2}{\partial x \partial y} \left(\frac{\tau_{xy}}{D} \right) + \right. \\ &+ \frac{\partial^2}{\partial y^2} \left[\frac{(H+G)\tau_{xy} + H\tau_{yy}}{D} \right] \left. \right\} + \frac{z}{\Delta} \left\{ \frac{\partial}{\partial x} \left[\frac{(H+F)\tau_{xy} - H\tau_{yy}}{D} \right] + \frac{\Delta}{N} \frac{\partial}{\partial y} \left(\frac{\tau_{xy}}{D} \right) \right\} \frac{\partial h}{\partial x} + \\ &+ \frac{z}{\Delta} \left\{ \frac{\partial}{\partial y} \left[\frac{(H+F)\tau_{xy} + H\tau_{yy}}{D} \right] + \frac{\Delta}{N} \frac{\partial}{\partial x} \left(\frac{\tau_{xy}}{D} \right) \right\} \frac{\partial h}{\partial y} + \frac{z}{2D\Delta} \left\{ [(H+F)\tau_{xy} + H\tau_{yy}] \frac{\partial^2 h}{\partial x^2} + \right. \\ &\quad \left. + \frac{2\Delta}{N} \tau_{xy} \frac{\partial^2 h}{\partial x \partial y} + [(H+G)\tau_{xy} + H\tau_{yy}] \frac{\partial^2 h}{\partial y^2} \right\} \end{aligned} \quad (1.31)$$

Вычитая из второго первое равенство системы (1.29) и имея в виду (1.14), (1.24), приходим к результату

$$\begin{aligned} \frac{h^2}{4\Delta} \left\{ \frac{\partial^2}{\partial x^2} \left[\frac{(H+F)\tau_{xy} + H\tau_{yy}}{D} \right] + \frac{2\Delta}{N} \frac{\partial^2}{\partial x \partial y} \left(\frac{\tau_{xy}}{D} \right) + \frac{\partial^2}{\partial y^2} \left[\frac{(H+G)\tau_{xy} + H\tau_{yy}}{D} \right] \right\} + \\ + \frac{h}{\Delta} \left\{ \frac{\partial}{\partial x} \left[\frac{(H+F)\tau_{xy} + H\tau_{yy}}{D} \right] + \frac{\Delta}{N} \frac{\partial}{\partial y} \left(\frac{\tau_{xy}}{D} \right) \right\} \frac{\partial h}{\partial y} + \frac{h}{\Delta} \left\{ \frac{\partial}{\partial y} \left[\frac{(H+G)\tau_{xy} + H\tau_{yy}}{D} \right] + \right. \\ \left. + \frac{\Delta}{N} \frac{\partial}{\partial x} \left(\frac{\tau_{xy}}{D} \right) \right\} \frac{\partial h}{\partial x} + \frac{h}{2D\Delta} \left\{ [(H+F)\tau_{xy} + H\tau_{yy}] \frac{\partial^2 h}{\partial x^2} + \frac{2\Delta}{N} \tau_{xy} \frac{\partial^2 h}{\partial x \partial y} + \right. \\ \left. + [(H+G)\tau_{xy} + H\tau_{yy}] \frac{\partial^2 h}{\partial y^2} \right\} + \frac{1}{2D\Delta} \left\{ [(H+F)\tau_{xy} + H\tau_{yy}] \left(\frac{\partial h}{\partial x} \right)^2 + \right. \\ \left. + \frac{2\Delta}{N} \tau_{xy} \frac{\partial h}{\partial x} \frac{\partial h}{\partial y} + [(H+G)\tau_{xy} + H\tau_{yy}] \left(\frac{\partial h}{\partial y} \right)^2 \right\} = Z^+ + Z^- \end{aligned}$$

Это и есть дифференциальное уравнение равновесия пластинки. Как и следовало ожидать, оно совпадает с уравнением равновесия, полу-

ченным традиционным способом теории пластинок, то есть способом рассмотрения равновесия моментов дифференциального элемента срединной плоскости.

2. Пусть пластина переменной толщины h отнесена к системе цилиндрических координат r, θ, z . Материал является несжимаемым, идеально-пластическим и ортотропным. Его главные направления совпадают с направлениями координатных линий. Поведение материала описывается законом течения, ассоциированным с поверхностью текучести Мизеса-Хилла. Нагрузка пластиинки вертикальная, граничные условия произвольны. Проделав выкладки, аналогичные выкладкам предыдущего пункта, для поперечных касательных и нормальных напряжений получим следующие формулы:

$$z_{rz} = -\frac{h-2|z|}{2\Delta} \left\{ \frac{\sigma}{r \partial r} \left[\frac{(H+F)z_r + Hz_b}{D} \right] + \frac{\Delta}{N} \frac{1}{r} \frac{\partial}{\partial \theta} \left(\frac{z_{r\theta}}{D} \right) + \frac{1}{r} \frac{Fz_r - Gz_b}{D} \right\} - \frac{1}{2D\Delta} \left\{ [(H+F)z_r + Hz_b] \frac{\partial h}{\partial r} + \frac{\Delta}{N} z_{r\theta} \frac{1}{r} \frac{\partial h}{\partial \theta} \right\} \quad (2.1)$$

$$z_{r\theta} = -\frac{h-2|z|}{2\Delta} \left\{ \frac{1}{r} \frac{\partial}{\partial \theta} \left[\frac{(H+G)z_b + Hz_r}{D} \right] + \frac{\Delta}{N} \frac{\partial}{\partial r} \left(\frac{z_{r\theta}}{D} \right) + \frac{2\Delta}{N} \frac{1}{r} \frac{z_{r\theta}}{D} \right\} - \frac{1}{2D\Delta} \left\{ [(H+G)z_b + Hz_r] \frac{1}{r} \frac{\partial h}{\partial \theta} + \frac{\Delta}{N} z_{r\theta} \frac{\partial h}{\partial r} \right\} \quad (2.2)$$

$$\begin{aligned} z_z &= \frac{Z^+ - Z^-}{2} - \frac{z(|z|-h)}{2\Delta} \frac{\partial^2}{\partial r^2} \left[\frac{(H+F)z_r + Hz_b}{D} \right] + \frac{2\Delta}{Nr} \frac{\partial^2}{\partial r \partial \theta} \left(\frac{z_{r\theta}}{D} \right) + \\ &+ \frac{1}{Dr} \frac{\partial}{\partial r} (Fz_r - Gz_b) + \frac{1}{r} \frac{\partial}{\partial r} \left[\frac{(H+F)z_r + Hz_b}{D} \right] + \frac{1}{r^2} \frac{\partial^2}{\partial \theta^2} \left[\frac{(H+G)z_b + Hz_r}{D} \right] + \\ &+ \frac{2\Delta}{Nr^2} \frac{\partial}{\partial \theta} \left(\frac{z_{r\theta}}{D} \right) + \frac{z}{\Delta} \left\{ \frac{\partial}{\partial r} \left[\frac{(H+F)z_r + Hz_b}{D} \right] + \frac{\Delta}{N} \frac{1}{r} \frac{\partial}{\partial \theta} \left(\frac{z_{r\theta}}{D} \right) + \frac{Fz_r - Gz_b}{2rD} + \right. \\ &\left. + \frac{1}{2rD} \left[(H+F)z_r + Hz_b \right] \frac{\partial h}{\partial r} + \frac{z}{\Delta} \left[\frac{1}{r} \frac{\partial}{\partial \theta} \left(\frac{(H+G)z_b + Hz_r}{D} \right) + \frac{\Delta}{N} \frac{\partial}{\partial r} \left(\frac{z_{r\theta}}{D} \right) + \right. \right. \\ &\left. \left. + \frac{\Delta}{N} \frac{1}{r} \frac{z_{r\theta}}{D} \right] \frac{1}{r} \frac{\partial h}{\partial \theta} + \frac{z}{2D\Delta} \left[\left((H+F)z_r + Hz_b \right) \frac{\partial^2 h}{\partial r^2} + \frac{2\Delta}{N} z_{r\theta} \frac{1}{r} \frac{\partial^2 h}{\partial r \partial \theta} - \right. \right. \\ &\left. \left. + \left((H+G)z_b + Hz_r \right) \frac{1}{r^2} \frac{\partial^2 h}{\partial \theta^2} \right] \right\} \end{aligned} \quad (2.3)$$

Здесь z_r , z_θ и $z_{r\theta}$ —скорости изменения кривизн срединной плоскости пластиинки, которые выражаются через скорости пренебрежимо малые по формулам [2]

$$z_r = \frac{\partial^2 w}{\partial r^2}, \quad z_\theta = \frac{1}{r} \left(\frac{\partial w}{\partial r} + \frac{1}{r} \frac{\partial^2 w}{\partial \theta^2} \right), \quad z_{r\theta} = \frac{1}{r} \left(\frac{\partial^2 w}{\partial r \partial \theta} - \frac{1}{r} \frac{\partial w}{\partial \theta} \right)$$

Дифференциальное уравнение равновесия пластинки имеет вид

$$\begin{aligned}
 & \frac{\partial^2}{\partial r^2} \left[\frac{1}{2} \frac{\partial^2}{\partial r^2} \left(\frac{(H+F)z_r + Hz_\theta}{D} \right) + \frac{1}{Nr} \frac{\partial^2}{\partial r \partial \theta} \left(\frac{z_{r\theta}}{D} \right) + \frac{1}{Dr\Delta} \frac{\partial}{\partial r} (Fz_r - Gz_\theta) + \right. \\
 & + \frac{1}{r\Delta} \frac{\partial}{\partial r} \left(\frac{(I+F)z_r + Hz_\theta}{D} \right) + \frac{1}{r^2\Delta} \frac{\partial^2}{\partial \theta^2} \left(\frac{(H+G)z_\theta + Hz_r}{D} \right) + \frac{1}{Nr^2} \frac{\partial}{\partial \theta} \left(\frac{z_{r\theta}}{D} \right) \Big] + \\
 & + \frac{1}{2} \frac{2h}{\Delta} \frac{\partial}{\partial r} \left(\frac{(H+F)z_r + Hz_\theta}{D} \right) + \frac{h}{Nr} \frac{\partial}{\partial r} \left(\frac{z_{r\theta}}{D} \right) + \frac{h}{rD\Delta} (Fz_r - Gz_\theta) + \\
 & + \frac{h}{Dr\Delta} [(H+G)z_\theta + Hz_r] + \frac{1}{D\Delta} [(I+F)z_r + Hz_r] \frac{\partial h}{\partial r} + \frac{z_{r\theta}}{2NDr} \frac{\partial h}{\partial \theta} \frac{\partial h}{\partial r} + \\
 & - \frac{1}{2} \frac{2h}{r\Delta} \frac{\partial}{\partial \theta} \left(\frac{(H+G)z_\theta + Hz_r}{D} \right) + \frac{h}{N} \frac{\partial}{\partial r} \left(\frac{z_{r\theta}}{D} \right) + \frac{h}{Nr} \frac{z_{r\theta}}{D} + \quad (2.5) \\
 & + \frac{1}{D\Delta} [(I+F)z_r + Hz_\theta] \frac{1}{r} \frac{\partial h}{\partial r} - \frac{1}{2N} \frac{z_{r\theta}}{D} \frac{\partial h}{\partial r} \Big] \frac{1}{r} \frac{\partial h}{\partial \theta} + \frac{h}{2D\Delta} [(H+F)z_r + Hz_\theta] \frac{\partial^2 h}{\partial r^2} + \\
 & + \frac{h}{2ND} \frac{z_{r\theta}}{r} \frac{\partial^2 h}{\partial r \partial \theta} + \frac{h}{2r^2\Delta D} [(H+G)z_\theta + Hz_r] \frac{\partial^2 h}{\partial \theta^2} = Z^+ + Z^-
 \end{aligned}$$

ON DETERMINATION OF STRESSES OF CROSS DIRECTION FOR VARIABLE THICKNESS ORTHOTROPIC IDEAL-PLASTIC PLATES

R. M. KRAKOSIAN

ՓՈՓԱԽԱՅԱՆ ՀԱԼՍՈՒԹՅԱՆ ԻՆԵՎՐՈԱՅԱ ՊԼԱՍՏԻԿ ՍՈւՀՐԻ ԼԱՅՆԱԿԱՆ
ՈՒԳՈՋՈՒԹՅԱՆ ՀԱՐԱՄԵՔԵՐԻ ՈՐՈՇՄԱՆ ՄԱՍԻՆ

Ա. Ա. ԿՐՈՎԱԿՈՎ

Ա մ փ ռ փ ո ւ մ

Սովորական տեսության լուծումների հիման վրա արտաժվում են փոփոխական հաստության ուղղագիծ և գլանային օրթոտրոպ իդեալական պլաստիկ սալերի լայնական շղամփող և նորմալ լարումների բանաձևերը: Այդ բանաձևերը կարող են օգտակար լինել լայնական ուղղությամբ ամրության վայ հատկությամբ օժտված ժամանակակից նյութերից պատրաստված սալերի օպտիմալ նախագծերը գնահատելիս:

Л И Т Е Р А Т У Р А

1. Маликан Н. Н. Прикладная теория пластичности и ползучести.—М.: Машиностроение, 1975. 400 с.
2. Амбарцумян С. А. Теория анизотропных пластин.—М.: Наука, 1987. 360 с.
3. Рацлевский П. К. Курс дифференциальной геометрии.—М.: Гостехиздат, 1956. 420 с.

Институт механики АН Армянской ССР

Поступила в редакцию

17.III.1989